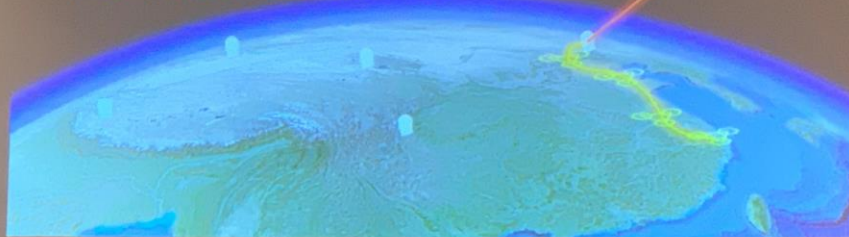


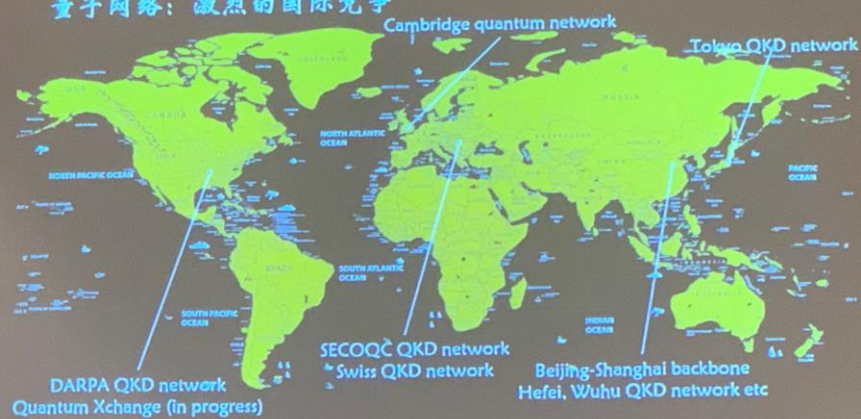
芯片化量子密钥分发

徐飞虎 (Feihu Xu)

物理学院&合肥微尺度物质科学国家研究中心
中国科学技术大学(USTC)



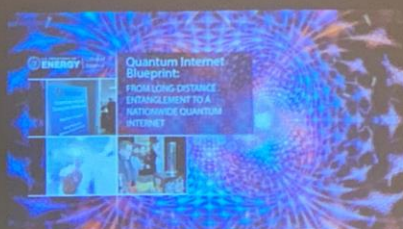
量子网络：激烈的国际竞争



量子网络：激烈的国际竞争



Chen et al., Nature 589, 214 (2021)



2020年7月美国能源部计划10年内建成“国家量子互联网”

未来量子网络所面临的挑战



安全性?



现实安全性



远距离?



量子中继



应用?



低成本、小型化

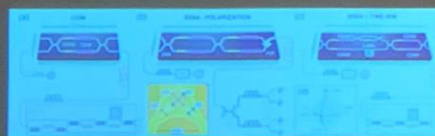
QKD原理



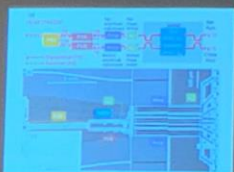
芯片化QKD近期进展



Toronto: *Optica* 3, 1274 (2016)



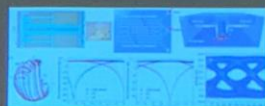
Bristol: *Nat Commun* 8, 13984 (2017); *Optica* 4, 172 (2017)



Sandia NL: *OE* 25, 12282 (2017)



Denmark: *npj Quant Inf* 3, 25 (2017)



MIT: *PRX* 8, 021009 (2018)

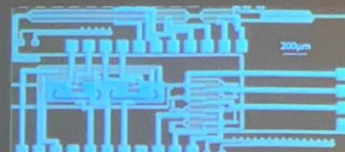


NTU: *Nat Photon* 13, 839 (2019)
USTC: *PRX* 10, 031030 (2020)

举例1: 硅光子芯片BB84发射端



与 Joyce Poon 团队合作 (Toronto)



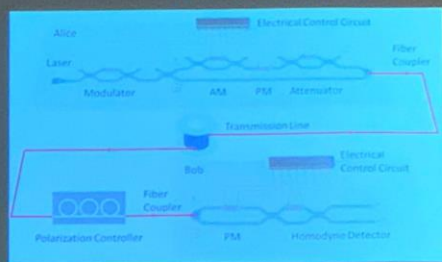
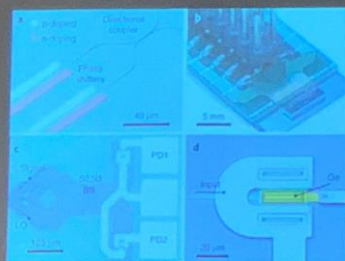
3mm x 1mm

- 高性能器件
 - 环形调制器: 20 dB ER, 支持 GHz 调制
 - 偏振调制器: >30 dB ER, 0.9 dB 功率抖动
- BB84演示
 - QBER: 5.4%; 安全密钥率: 0.95 kbps

Ma et al., *Optica* 3, 1274 (2016)

举例2：硅光子芯片连续变量QKD

与 Ai-Qun Liu 团队合作 (NTU)

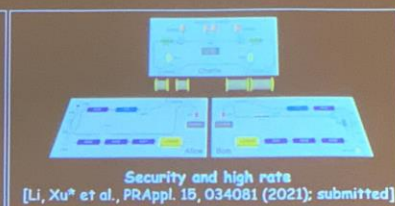
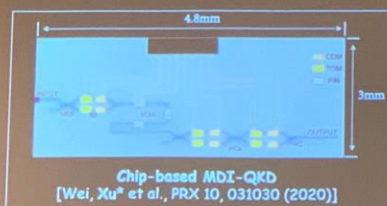


硅芯片上集成低噪声零差探测器
10MHz bandwidth, 5dB shot-noise clearance

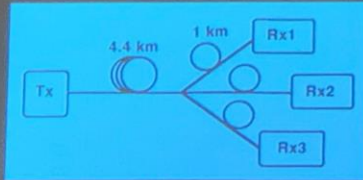
验证性实验演示CV-QKD

Zhang, ..., Xu*, Liu* Nature Photon. 13, 839 (2019)

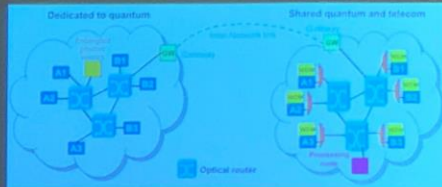
Chip-based MDI-QKD



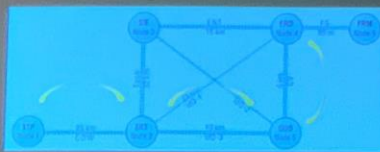
量子通信城域网：下行传输 + 可信中继



Townsend, Nature 385, 47 (1997)



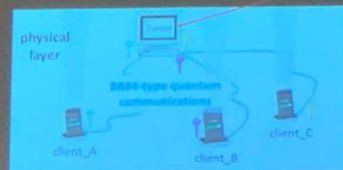
Chapuran et al., New J. Phys. 11, 105001 (2009)



- Elliott, arXiv: quant-ph/0503058 (2005) USA
- Peev et al., New J. Phys. 11, 075001 (2009) Europe
- Chen et al., Opt. Express 18, 27217 (2010) China
- Wang et al., Opt. Lett. 35, 2454 (2010)
- Chen et al., Nature 589, 214 (2021)
- Sasaki et al., Opt. Express 19, 10387 (2011) Japan

量子接入网

可信中继



Hughes et al., arXiv:1305.0305 (2013)

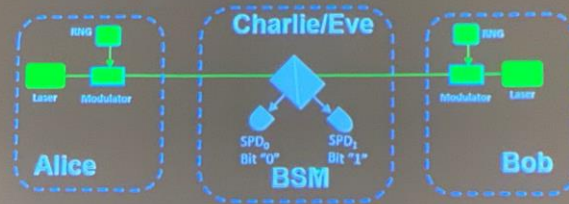


可信中继

Frohlich et al., Nature 501, 69 (2013)

QKD现实安全性

解决方案: Measurement-device-independent (MDI) QKD, 根本上免除任何探测端攻击[Lo, Curty, Qi, PRL 108, 130503 (2012)]



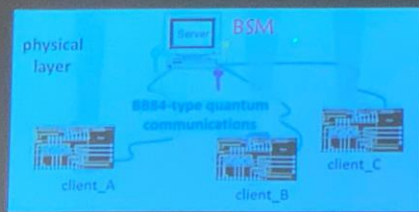
QKD现实安全性

解决方案: Measurement-device-independent (MDI) QKD, 根本上免除任何探测端攻击[Lo, Curty, Qi, PRL 108, 130503 (2012)]



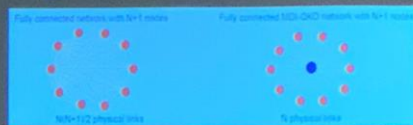
基于不可信中继的量子网络组网方案

芯片化、测量设备无关(MDI)量子接入网



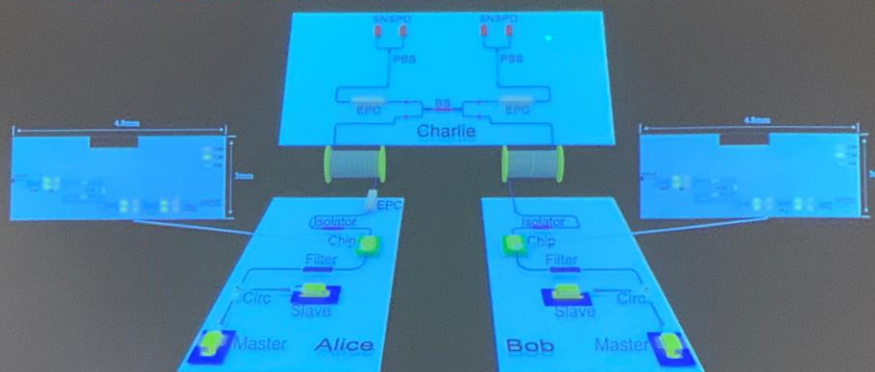
Chip-based MDI-QKD Network

- ① 高安全性: 不可信中继
- ② 低成本
- ③ 芯片: 仅发射端, 免受损耗影响
- ④ 可扩展、省资源



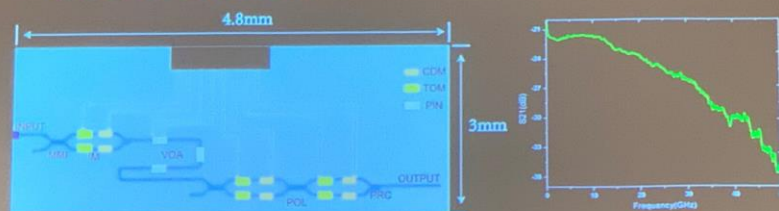
Xu et al., Nat. Photon. 9, 772 (2015)

芯片化高速MDI-QKD - 1.25 GHz



Wei, Xu* et al., PRX 10, 031030 (2020)

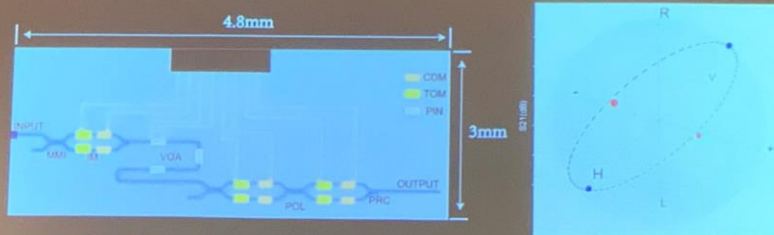
高速硅基集成调制芯片



- Carrier depletion modulator (CDM) 和 MZI 结构的偏振/强度调制器
- CDM 的带宽可以达到~21 GHz

Wei, Xu* et al., PRX 10, 031030 (2020)

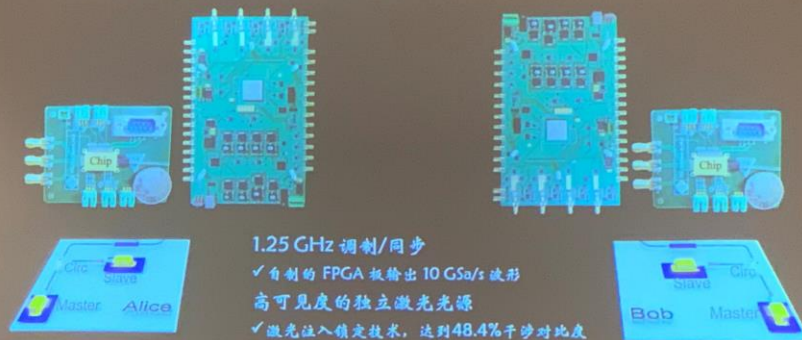
高速硅基集成调制芯片



- Carrier depletion modulator (CDM) 和 MZI 结构的偏振/强度调制器
- CDM 的带宽可以达到~21 GHz
- 偏振态对比度达到~26 dB

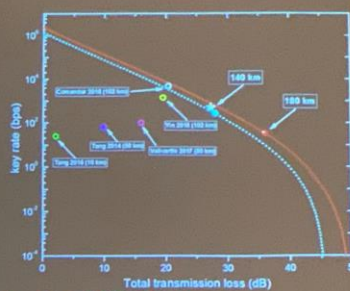
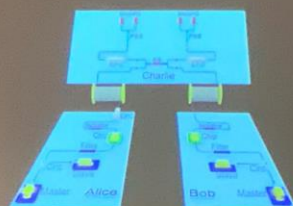
Wei, Xu* et al., PRX 10, 031030 (2020)

GHz MDI-QKD的主要技术挑战



Wei, Xu* et al., PRX 10, 031030 (2020)

GHz MDI-QKD实验结果



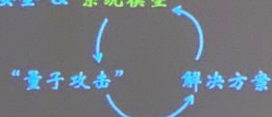
- 1.25 GHz, 随机调制诱骗态/编码态, 芯片化MDI-QKD
- 硅基芯片集成了所有发射端的编码器件
- 高安全码率: 6172 (31) bits/s @ 100-km (180-km) 光纤

Wei, Xu* et al., PRX 10, 031030 (2020)

量子密码的现实安全性

Xu et al., RMP 92, 025002 (2020)

现实安全 = 理论安全 & 系统模型

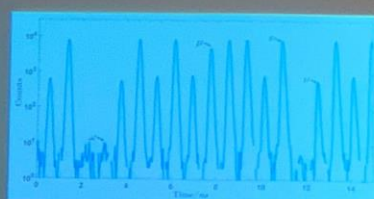


- Side channels in high-speed QKD?
- Side channels in chip-based QKD?

Pattern effect on modulation

Pattern	Average intensity of forward signal	deviation from $\mu \rightarrow \mu$
$s \rightarrow s$	1.000	-
$\mu \rightarrow s$	1.002	0.24%
$u \rightarrow s$	1.003	0.32%
$0 \rightarrow s$	1.003	0.27%
$s \rightarrow \mu$	0.617	-
$\mu \rightarrow \mu$	0.626	1.51%
$u \rightarrow \mu$	0.610	-1.08%
$0 \rightarrow \mu$	0.632	2.44%
$s \rightarrow u$	0.029	-
$\mu \rightarrow u$	0.027	-5.57%
$u \rightarrow u$	0.025	-11.95%
$0 \rightarrow u$	0.027	-5.90%

Intensity deviation is less than 12%



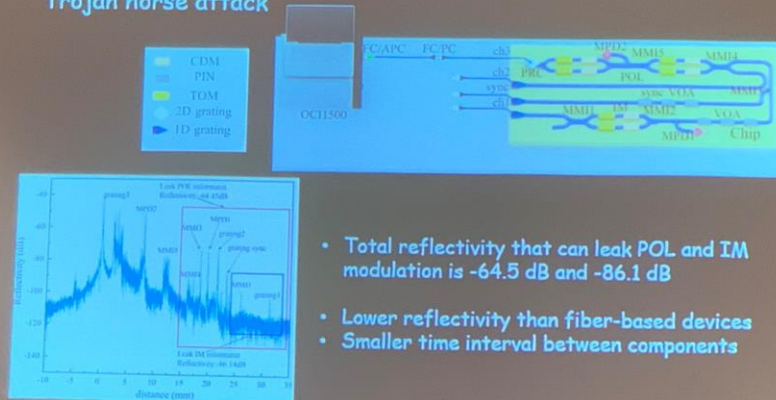
Pattern sifting + alternate key distillation



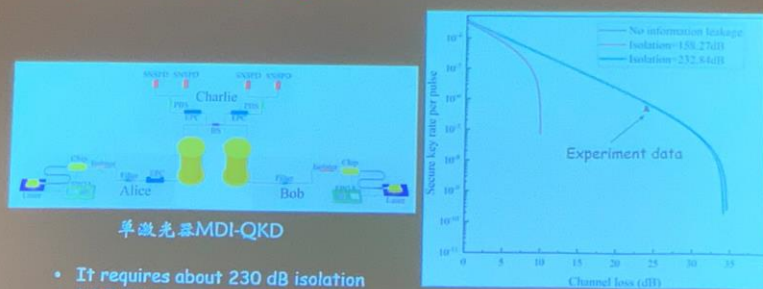
IID assumption restored

Yoshino et al., npj Quant. Inf. 4, 8 (2018)

Trojan horse attack

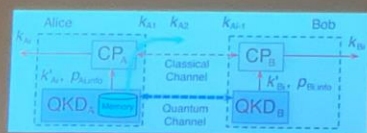


Chip-based MDI-QKD against THA

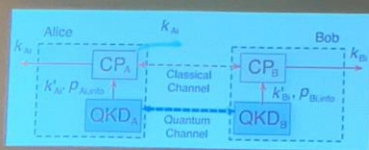


隐信道攻击

解决方案：冗余设备+多方安全计算

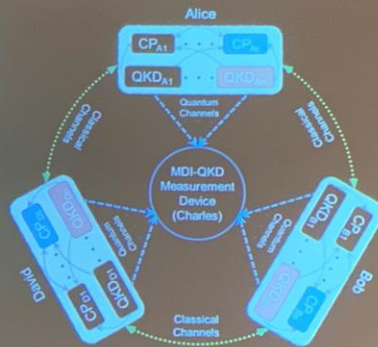


量子硬件隐信道攻击 (DI-QKD)

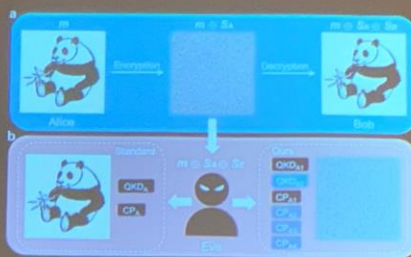
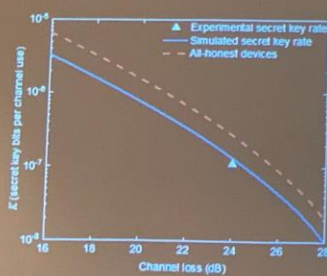


经典电子学硬件隐信道攻击 (经典密码)

Curry, Lo, npj Quant. Inf. (2019)



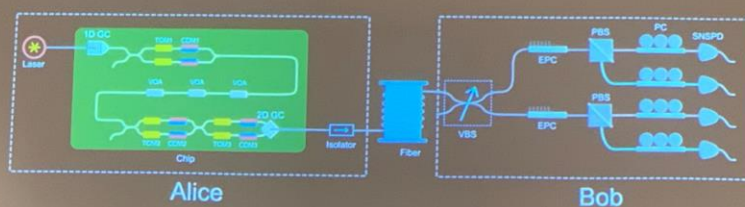
实验演示抵制隐信道攻击



冗余设备
+
多方安全计算协议

Li, Xu^{*} et al., PRApl. 15, 034081 (2021)

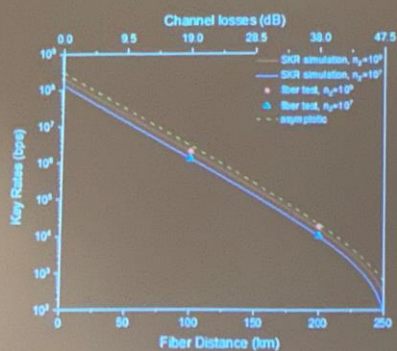
High-rate chip-based QKD



集成化：硅基发送端芯片
 高速率：2.5 GHz
 低误码率：0.49%
 更优的BB84协议：四态、两强度

Li, Xu^{*} et al., submitted (2021)

High-rate chip-based QKD



文献	协议	时钟频率	探测器	误码率	码率	码率(归一化到10 dB, Mbps)
Lucamarini et al. 2013	BB84	1 GHz	InGaAs APD 效率 20.5%	4%	1.09 Mbps @ 50 km	1.09
Silvestri et al. 2017	BB84	1 GHz	SNSPD 效率 40%	1%	329 Mbps @ 20 km	0.08
Banerjee et al. 2018	BB84	525 MHz	SNSPD 效率 > 85%	2%	1.039 Mbps @ 9.2 dB	0.06
Grünenfelder et al. 2020	BB84	5 GHz	SNSPD 效率 80%	1.93%	392.7 kbps @ 101 km	1.08
Islam et al. 2017	4-high dimension	2.5 GHz	SNSPD 效率 > 70%	4%	7.71 Mbps @ 10 dB	7.71
This work	BB84	2.5 GHz	SNSPD 效率 56%	0.49%	7.42 Mbps @ 101 km	23.22

已报道实验中最高码率：2.4 Mbps@100km

Li, Xu^{*} et al., submitted (2021)

未来：chip-based MDI-QKD + TF-QKD



总结：面向未来量子网络



安全性？



现实安全性

MDI+TF量子网络
Nat. Photon. 9, 772 (2015)



远距离？



量子中继

全光子量子中继
Nat. Photon. 13, 644 (2019)



应用？



低成本、小型化

芯片化QKD
Nat. Photon. 13, 839 (2019)
PRX 10, 031030 (2020)